

due to an increase of the erythrocyte number, the erythrocytic chain being normalized more slowly. Adaptation to the middle mountain conditions has no essential effect on a degree of the oxygen blood capacity decrease.

A. A. Bogomoletz Institute of Physiology, Academy of Sciences of the Ukrainian SSR, Kiev

1. Бабаскин П. М. Метод определения пировиноградной кислоты в крови // Лаб. дело.—1976.—№ 8.—С. 497.
2. Буланова Л. А., Аврамова Т. В. Активность метгемоглобиностанавливающих систем эритроцитов, продуцированных в условиях нормального и напряженного эритропоэза // Современные проблемы биохимии дыхания и клиники.—Иваново: Б. и., 1972.—Т. 1.—С. 378—380.
3. Виноградова И. Л., Балянцева С. Ю., Дервиз Г. В. Метод одновременного определения 2,3-ДФГ и АТФ в эритроцитах // Лаб. дело.—1980.—№ 7.—С. 424—426.
4. Дубарев В. П. Дыхательная функция крови в условиях горных высот и резистентность организма // Адаптация и резистентность организма в условиях гор.—Киев: Наук. думка, 1986.—С. 22—30.
5. Кульминская А. С., Газарян К. Г. Пролиферативная активность клеток костного мозга и крови при фенилгидразиновой анемии у крыс // Онтогенез.—1980.—11, № 4.—С. 386—391.
6. Кушаковский М. С. Клинические формы повреждения гемоглобина.—Л.: Медицина, 1968.—324 с.
7. Маурер Г. Диск-электрофорез.—М.: Мир, 1971.—247 с.
8. Моисеева О. И. Физиологические механизмы регуляции эритропоэза.—Л.: Наука, 1985.—183 с.
9. Павлов А. Д. Эритропоэтический стресс и рибонуклеиновые кислоты костного мозга // Молекулярные аспекты регуляции эритропоэза.—Рязань: Б. и., 1974.—С. 25—40.
10. Шурьян И. М., Стародуб Н. Ф., Грицак А. Н. Гетерогенная система гемоглобина анемичных крыс // Бюл. эксперим. биологии и медицины.—1976.—82, № 11.—С. 1328—1330.
11. Ястребов А. П. О состоянии окислительного обмена в костном мозге при гемолитической анемии // Пробл. гематологии и переливания крови.—1973.—18, № 11.—С. 12—13.
12. Ades I. Z., Casearano J. Mitochondrial alterations in heart, kidney and liver of rats subjected to anemic hypoxia // Exp. and Mol. Pathol.—1979.—30. P. 94—109.
13. Lissi E., Franz R., Cabezas J. et al. Effects of antioxidants and haemoglobin status on the t-butylhydroperoxide-induced oxygen uptake by red blood cells // Cell. Bioc hem. and Funct.—1986.—4, N 1.—P. 61—68.
14. Michelsen K. Hemodynamics in the bone marrow of anemic rabbits with increased hematopoiesis // Acta physiol. scand.—1969.—77, N 1/2.—P. 52—54.
15. Ribarov S. R., Benov L. C., Marcova V. I. Possible contribution of oxyhemoglobin to the iron-induced hemolysis. Simultaneous effect of iron and hemoglobin on lipid peroxidation // Blut.—1983.—46, N 4.—P. 217—225.
16. Ström G. The influence of anoxia on lactate utilization in man after prolonged muscular work // Acta physiol. scand.—1949.—17, N 1/4.—P. 440—451.
17. Szygula Z., Kulpa J., Dabrowski Z. et al. Bone marrow cyclic nucleotides (cAMP, cGMP) in phenylhydrazine-induced anemia // Acta haematol.—1985.—73, N 4.—P. 212—215.

Ин-т физиологии им. А. А. Богомольца
АН УССР, Киев

Поступила 23.01.87

УДК 612.67.017.11

Поглотительная способность мононуклеарных фагоцитов кроликов разного возраста

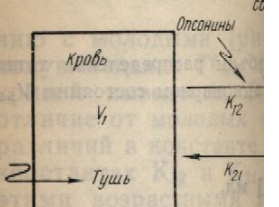
О. П. Терешина

Системе мононуклеарных фагоцитов (СМФ), объединяющей макрофаги различной тканевой принадлежности, отводится важная роль в защите организма. Они осуществляют элиминацию микроорганизмов, циркулирующих иммунных комплексов, поврежденных или состарившихся клеток и их обломков, участвуют в иммунном ответе [2, 5]. Известно, что при старении снижается иммунологическая активность,

резистентность к вируным инвазиям, повышенная иммунная компетентность старых людей [1, 7, 12]. Цель настоящей способности СМФ у кроликов.

Методика

В опыт были взяты кролики 8 мес (шесть кроликов), пять кроликов). Поглоти-



ную вводили внутривенно римую тушь. По своим когических исследований не Отличие состоит в том, однородны. Опыт работы туши показал, что для счи ходимо прогреть ее при т отцентрифугировать (20— по токсичности мало отл зарубежной, но больший размере частиц вынужда вать минимальные дозы [билизации частиц примен раствор желатина, к ко бавляли тушь (3 : 2). К рали с помощью введенной бедренную артерию кате

Рис. 2. Кривые выведения крови у кроликов разного возраста: 1 — старые, 2 — взрослые, O, Δ, × — расчетные точки, ментальные.

1, 2, 5, 10, 20, 30, 40, 50, ческого раствора с добавкой определяли на фотоколориметрическом крипенце туши мышей Souich и соавт. [14] при

erythrocytic chain being normalized conditions has no essential effect on a...
 ...ной кислоты в крови // Лаб. де-
 ятельность гемоглобиносстанавливающих сис-
 ...рального и напряженного эрит-
 ...хания и клиника.— Иваново: Б. и.,
 Г. В. Метод одновременного опре-
 дено.— 1980.— № 7.— С. 424—426.
 ...условиях горных высот и резистент-
 организма в условиях гор.— Киев :
 ...тивная активность клеток костного
 ...и у крыс // Онтогенез.— 1980.— 11,
 ...дения гемоглобина.— Л.: Медицина,
 ...247 с. ... регуляции эритропоэза.— Л.: Наука,
 ...нуклеиновые кислоты костного моз-
 ...а.— Рязань: Б. и., 1974.— С. 25—

Гетерогенная система гемоглобина и медицины.— 1976.— 82, № 11.—
 ...ена в костном мозге при гемолити-
 ...вания крови.— 1973.— 18, № 11.—
 ...is in heart, kidney and liver of rats
 ...Pathol.— 1979.— 30. P. 94—109.
 ...ntioxidants and haemoglobin status
 ...ke by red blood cells // Cell. Bioc-
 ...of anemic rabbits with increased
 ...N 1/2.— P. 52—54.
 ...sible contribution of oxyhemoglobin
 ...ct of iron and hemoglobin on lipid
 ...zation in man after prolonged mus-
 .../4.— P. 440—451.
 ...marrow cyclic nucleotides (cAMP, cGMP).
 ...haematol.— 1985.— 73, N 4.—

Поступила 23.01.87

в разного возраста

), объединяющей макрофаги. Важная роль в за-
 ...миацию микроорганизмов, поврежденных или состарив-
 ...иммунном ответе [2, 5]. Из-
 ...мунологическая активность,

резистентность к вирусным и бактериальным инфекциям и паразитарным инвазиям, повышаются титры аутоантител и уровень циркулирующих иммунных комплексов, что приводит к увеличению частоты инфекционных, злокачественных и других заболеваний у пожилых и старых людей [1, 7, 13]. С этой точки зрения изучение возрастных особенностей поглотительной функции СМФ, участвующей в неспецифической и специфической защите организма, имеет большое значение. Результаты экспериментов, посвященных этому вопросу, выполненных *in vitro* и *in vivo* на различных видах и линиях животных, по отношению к различным антигенам и инертным коллоидам, отличаются противоречивостью, но многие исследователи, однако, отмечают уменьшение защитной функции макрофагов [10—12].

Цель настоящей работы заключалась в изучении поглотительной способности СМФ у кроликов разного возраста.

Методика

В опыте были взяты кролики породы Шиншилла трех возрастных групп: молодые 6—8 мес (шесть кроликов), взрослые 1,5—1,8 года (три кролика), старые 4—4,5 года (пять кроликов). Поглотительные свойства СМФ оценивали по клиренсу туши, кото-



Рис. 1. Фармакокинетическая модель фагоцитоза туши системой мононуклеарных фагоцитов:

V_1 и V_2 — объемы распределения туши в центральной и периферической камерах; K_{12} и K_{21} — константы скорости межкамерного распределения; K_{el} — константа элиминации туши.

рую вводили внутривенно (96 мг/кг). Использовали обычную чертежную водорасторимую тушь. По своим компонентам эта тушь и специально приготовленная для биологических исследований не различаются (уголь + консервант + супспендирующий агент). Отличие состоит в том, что в специально приготовленной тушь частицы более однородны. Опыт работы других исследователей с различными марками отечественной туши показал, что для снижения ее токсичности и устранения крупных агрегатов необходимо прогреть ее при температуре 56 °C в течение 15—20 мин, а после охлаждения отцентрифугировать (20—30 мин при 7000—8000 г). Полученная таким образом тушь по токсичности мало отличается от зарубежной, но больший разброс в размере частиц вынуждает увеличивать минимальные дозы [6]. Для стабилизации частиц применяли 3 %-ный раствор желатина, к которому добавляли тушь (3 : 2). Кровь забирали с помощью введенного в правую бедренную артерию катетера через

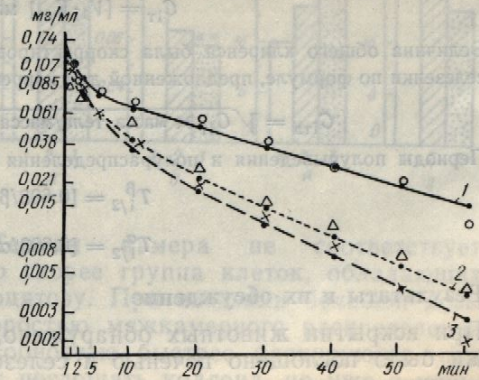


Рис. 2. Кривые выведения туши из крови у кроликов разного возраста:
 1 — старые, 2 — взрослые, 3 — молодые;
 ○, Δ, × — расчетные точки, • — экспери-
 ментальные.

1, 2, 5, 10, 20, 30, 40, 50, 60 мин в количестве 0,2 мл, разводили в 2,8 мл физиологического раствора с добавлением гепарина (5 Ед/мл). Концентрацию туши в крови определяли на фотоколориметре 56 М при длине волн 560 нм [4]. Для анализа кривых клиренса туши мы воспользовались фармакокинетическим методом, примененным Souich и соавт. [14] при изучении клиренса туши у кроликов.

Распределение туши в организме описывалось двухкамерной моделью, которая могла отвечать следующим предположениям: 1) частицы туши мгновенно распространяются в центральном отделе (V_1); 2) затем туша распространяется в периферическом отделе (V_2); 3) элиминирующаяся фракция туши связывается плазменными факторами, т. е. опсонинами, затем местами связывания на поверхности фагоцита и запасается в СМФ (рис. 1). Графическое изображение снижения концентрации туши относительно времени представляло собой биэкспоненту (рис. 2) и описывалось следующим уравнением:

$$C(t) = A \cdot e^{-\alpha t} + B \cdot e^{-\beta t},$$

где $\ln A$ и $\ln B$ соответствовали отрезкам кривых, отсекаемых графиком зависимости C от t на оси ординат, а константы α и β определялись тангенсом угла наклона графика к оси абсцисс. Иногда чисто условно фазу α называют фазой распределения, а фазу β — фазой элиминации. K_{12} и K_{21} являются константами межкамерного распределения туши и представляют скорости, с которыми уголь переносится с кровью из центральной в периферическую камеру и обратно, и определяются следующими уравнениями:

$$K_{12} = [(\alpha \cdot A + \beta \cdot B)/(A + B)] \text{ мин}^{-1},$$

$$K_{21} = [\alpha + \beta - (K_{12} + K_{el})] \text{ мин}^{-1}.$$

Скорость, с которой исчезает туша, запасающаяся фагоцитами, или константа элиминации K_{el} , определяется следующим уравнением:

$$K_{el} = [\alpha \cdot \beta / K_{12}] \text{ мин}^{-1}.$$

Объем распределения туши рассчитывали как кажущийся объем распределения туши в центральной камере V_1 , в системе двух камер при квазистационарном состоянии V_{ss} и кинетический объем распределения V_β :

$$V_1 = [\text{Доза}/A + B] \text{ мл},$$

$$V_{ss} = [V_1 \cdot (K_{12} + K_{21} + K_{el}) / (K_{21} + K_{el})] \text{ мл},$$

$$V_\beta = [V_1 \cdot K_{el} / \beta] \text{ мл}.$$

Кажущийся объем распределения не эквивалентен физиологическому объему тканей, объединенных понятием камера, а имеет лишь формальный смысл коэффициента пропорциональности между количеством препарата в камере и его концентрацией в тест-ткани [3]. На основании значений V_1 и K_{el} рассчитывали площадь под кривой, характеризующей поведение препарата в центральной камере, а также общий клиренс туши C_{lt} , определяющий объем тест-ткани, освобождающейся от препарата за единицу времени

$$S^{0-\infty} = [\text{Доза}/V_1 \cdot K_{el}] \text{ мг} \cdot \text{мин}/\text{мл},$$

$$C_{lt} = [V_1 \cdot K_{el}] \text{ мл}/\text{мин}.$$

Величина общего клиренса была скорректирована с отношением массы тела печени и селезенки по формуле, предложенной для коррекции фагоцитарного индекса

$$C_{lta} = \sqrt{C_{lt} \times \text{масса тела}/\text{масса печени} + \text{масса селезенки}}.$$

Периоды полувыведения и полураспределения рассчитывали по следующим формулам:

$$T_{1/2}^\beta = [0,693/\beta] \text{ мин},$$

$$T_{1/2}^\alpha = [0,693/\alpha] \text{ мин}.$$

Результаты и их обсуждение

При вскрытии животных обнаружено, что наибольшее количество туши было поглощено печенью и селезенкой, небольшое почернение отмечали в легких и костном мозге, что подтверждалось микроскопически. На рис. 3 представлены макрофаги клеток печени и селезенки, наполненные тушью. Главная роль печени в выведении из крови чужеродного материала описана многими авторами [2, 9, 14]. Biozzi и Stiffel [9], изучавшие клиренс чужеродных частиц у крыс, нашли, что 93 % внутривенно введенных частиц локализовалось в печени, 3 % — в селезенке и небольшое количество (не поддающееся определению) — в

почках, легких, костном м

95 % в печени и 5–10 % в

Анализ кривых выве-

константы β ($0,0364 \pm 0,00$,

нации K_{el} ($0,075 \pm 0,005$ и

($25,9 \pm 4,6$ и $21,06 \pm 3,16$, не



Рис. 3. Мазки клеток селезенки и печени.

a — макрофаг селезенки, захватывающий тушью (указан стрелкой).

нию с молодыми (рис. 4) полувыведения $T_{1/2}^\beta$ (20,3), кривой выведения S (25 отличие от молодых (см. различий в константе α и константах K_{12} и K_{21} , а этими возрастными группами параметров взрослых живых старыми достоверных разл.

СМФ, представленная на рисунке, конечно, гораздо сложнее, чем несколько камер, различающихся по скорости межкамерного распределения

Рис. 4. Параметры выведения туши из кровяного русла крыс различного возраста после внутривенного ее введения (96 мг/кг):

a — период полувыведения, *b* — константа элиминации, *c* — площадь под кривой выведения, *d* — общий клиренс (1 — молодые животные, 2 — взрослые, 3 — старые). Одной звездочкой обозначен коэффициент достоверности в сравнении молодых и старых животных, составляющий 0,02, двумя звездочками — 0,05.

введенного вещества в какому-то органу полностью одинаковой способностью коллоида камеры с высокой или низкой поглотительной способностью. При этом другие камеры продолжают свой процесс выведения с уменьшением концентрации в верхности фагоцита, и эти факторы ограничивают способности СМФ участвующих в фагоцитозе

двухкамерной моделью, которая частички туши мгновенно распространяется в периферии туши связывается плазменными связями на поверхности фагоцита и снижение концентрации туши центру (рис. 2) и описывалось следующими уравнениями:

мл

мин^{-1}

фагоцитами, или константа элиминации K_{el}

мин^{-1}

щийся объем распределения туши в квазистационарном состоянии V_{ss}

$[V_{ss} + K_{el}] \text{ мл}$,

физиологическому объему тканей, альный смысл коэффициента пропорции и его концентрацией в тест-ткации площадь под кривой, характере, а также общий клиренс туши, делящейся от препарата за единицу

отношением массы тела печени и агоцитарного индекса

— масса селезенки.

Составляли по следующим формулам:

наибольшее количество тунебольшое покрение отржалось микроскопически. печени и селезенки, наполненные из крови чужеродных [2, 9, 14]. Biozzi и Stiffel у крыс, нашли, что 93 % туши в печени, 3 % — в селезенке (связывающее определению) — в

почках, легких, костном мозгу, а у мышей 10 различных линий — 90—95 % в печени и 5—10 % в селезенке.

Анализ кривых выведения туши позволил выявить уменьшение константы β ($0,0364 \pm 0,004$ и $0,06 \pm 0,008$; $P=0,05$), константы элиминации K_{el} ($0,075 \pm 0,005$ и $0,12 \pm 0,02$; $P=0,05$) и общего клиренса C_{lt} ($25,9 \pm 4,6$ и $21,06 \pm 3,16$, не достоверно) у старых кроликов по сравне-

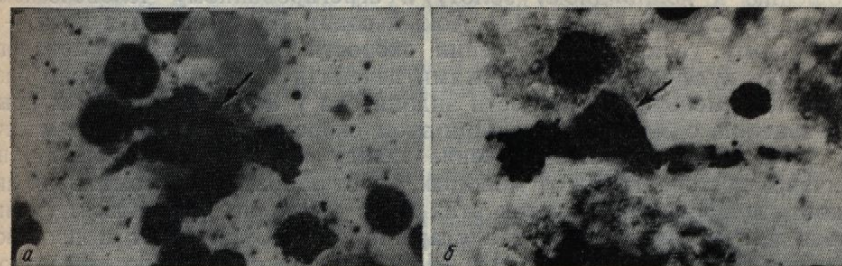


Рис. 3. Мазки клеток селезенки и печени кролика через 60 мин после введения туши:
а — макрофаг селезенки, захвативший тушу (указан стрелкой); б — купферовская клетка, наполненная тушью (указана стрелкой).

нию с молодыми (рис. 4). Соответственно этому увеличились период полуыведения $T^{1/2}$ ($20,3 \pm 2,7$ и $11,97 \pm 1,17$; $P=0,02$) и площадь под кривой выведения S ($25,9 \pm 3,1$ и $16 \pm 1,97$) у старых кроликов в отличие от молодых (см. рис. 4). При этом не выявлено достоверных различий в константе α и периоде полураспределения $T^{1/2}$, скоростных константах K_{12} и K_{21} , а также в объемах распределения туши между этими возрастными группами. При сравнении фармакокинетических параметров взрослых животных с таковыми молодых и взрослых со старыми достоверных различий не обнаружено.

СМФ, представленная в данной модели как периферическая камера, конечно, гораздо сложнее и можно предположить, что существует несколько камер, различающихся по скорости межкамерного распределения

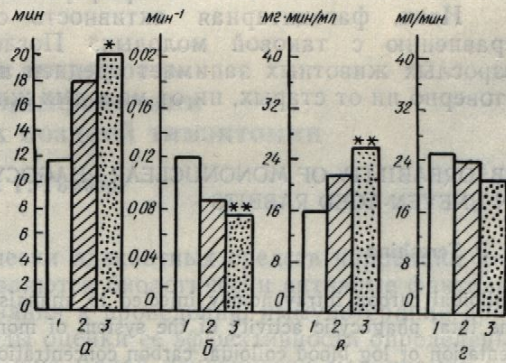


Рис. 4. Параметры выведения туши из кровяного русла кроликов разного возраста после внутривенного ее введения (96 мг/кг):

а — период полуыведения, б — константа элиминации, в — общий клиренс (1 — молодые животные, 2 — взрослые, 3 — старые). Одной звездочкой обозначен коэффициент достоверности при сравнении молодых и старых животных, составляющий 0,02, двумя — составляющий 0,05.

введенного вещества [14]. Термин камера не соответствует какому-то органу полностью, это скорее группа клеток, обладающих одинаковой способностью к фагоцитозу. При введении большой дозы коллоида камеры с высокой скоростью межкамерного распределения или низкой поглотительной способностью быстрее блокируются, при этом другие камеры продолжают поглощать колloid, но уже с меньшей скоростью. Уменьшение скорости поглощения может быть связано с истощением опсонинов или насыщением мест связывания на поверхности фагоцита, и при введении больших доз чужеродных веществ эти факторы лимитируют скорость захвата [14]. Снижение поглотительной способности СМФ может зависеть также и от числа клеток, участвующих в фагоцитозе, и от их активности.

Полученные результаты, свидетельствующие о снижении фагоцитарной активности старых животных по сравнению с молодыми и об отсутствии возрастной разницы в фагоцитарной активности взрослых животных по сравнению с молодыми и по сравнению со старыми, согласуются с данными других авторов. Wagner и соавт. [17] выявили уменьшение поглотительной способности СМФ с возрастом у людей по отношению к коллоидному золоту и агрегированному человеческому альбумину, Cantrel и Elko [11], Aoki и соавт. [8] у мышей и крыс — к коллоидному углю. При изучении скорости эндоцитоза коллоидного альбумина купферовскими клетками печени в культуре показано прогрессивное уменьшение скорости эндоцитоза у 30- и 36-месячных крыс по сравнению с 3-месячными. При этом скорость эндоцитоза 12-месячных крыс имела среднее значение между молодыми и старыми, не отличаясь достоверно ни от молодых, ни от старых. Лизосомальная активность купферовских клеток этих крыс могла не изменяться, уменьшаться или увеличиваться при старении [10]. Существует и противоположная точка зрения. Vomel и Platt [16] при оценке поглотительной способности СМФ старых и молодых кроликов по отношению к гомологичным эритроцитам пришли к выводу об увеличении фагоцитарной активности с возрастом. Однако, по мнению Brouwer и Knook [10], выведение гомологичных эритроцитов из крови — медленный процесс, зависящий от постепенной модификации эритроцитарных мембран. В этом случае активность клеток СМФ не является фактором, лимитирующим скорость выведения. Мы предполагаем, что возрастные изменения фагоцитарной активности СМФ могут быть связаны с уменьшением эндоцитозной функции купферовских клеток печени, играющих главную барьерную роль в защите организма от чужеродных агентов. Тем более, что при морфологическом изучении макрофагов печени у старых крыс [15] обнаружены многочисленные разбухшие ретикулодендритальные клетки с круглым ядром и более выраженной ацидофильной цитоплазмой. Через месяц после введения туши в печени старых крыс выявлялись фагоциты, содержащие большие агрегаты туши по всей печеночной дольке, тогда как у молодых животных такие фагоциты локализовались в периферической части дольки.

Итак, фагоцитарная активность старых кроликов снижена по сравнению с таковой молодых. Поглотительная способность СМФ взрослых животных занимает среднее положение и не отличается достоверно ни от старых, ни от молодых животных.

ABSORBABILITY OF MONONUCLEAR PHAGOCYTES IN UNEVEN-AGED RABBITS

O. P. Tereshina

Colloidal carbon intravenously injected to animals (96 mg/kg) has been used to study the total phagocytic activity of the system of mononuclear phagocytes. Graphical representation of log blood colloidal carbon concentrations versus time is a bioexponential decay, colloidal carbon distribution in the organism being characterized by the two-chamber model. Calculation of the colloidal carbon clearance parameters has revealed a decrease in the elimination constant and an increase in the clearance half time and area under the blood clearance time curve in old rabbits (4-4.5 years) as against the young animals (6-8 months). In adult (1.5-1.8 years) rabbits the above indices of phagocytic activity had no reliable differences from those of both young and old animals.

Institute of Gerontology,
Academy of Medical Sciences of the USSR, Kiev

- Бутенко Г. М. Возрастные изменения иммунитета как предпосылка для развития патологии в старости // Вестн. АМН ССР.—1980.—№ 3.—С. 41—45.
- Маякский Д. Н. Клетка Купфера и система мононуклеарных фагоцитов.—Новосибирск : Наука, 1981.—168 с.

- Соловьев В. Н., Фирсов 1980.—423 с.
- Учитель И. Я. Макрофаги
- Фрейдлин И. С. Система
- Чернух А. М., Александрова, 1975.—456 с.
- Aho K. Autoantibodies P. 8—13.
- Aoki T., Feller M. N., Ro on phagocytic activity of Cancer Inst.—1965.—34.
- Boizzi G., Stiffel C. The and spleen // Progress in 166 p.
- Brouwer A., Knook D. L. Ageing and Develop.—198
- Cantrell W., Elko E. E. Erlasitol.—1973.—34, N 3.
- Garvey J. S., Caperna Th. gen processing by Fisher Cell Symp. Nordwidjkerho 428.
- Tracey D. E. Macrophag hol.—New York; London,
- Souich P. du, Bernier J., carbon as a cause of retic N 2.—P. 91—104.
- Patek P. R., Mignard V. reticuloendothelial cells o
- Vomel Th., Platt D. Lifes thelial system // Mech. A
- Wagner H. N., Migita T. in man // J. Gerontol.—19

Ин-т геронтологии АМН ССР

УДК 616.438—089.87:612.017.1—092.9

Влияние тимостимула на тимусную сыворотку и экспрессию Е-рецептора морских свинок в ус

Ю. А. Гриневич, Ф. В. Филь

Одним из наиболее физиологических в иммунной системе тимуса [5]. Тем не менее паратами тимуса, а также не достаточно полно выявлены. Однако уже системы и разработке состояния эндокринной одного из его гормонов объективно характеризуется эндокринной функции и нарушений в созревании итоге отражается и на и

Вышеизложенное показывает, свойственной горючести, с экспрессией Е-рецептора поздней тимэктомии, и новых факторов тимуса.

Физиол. журн.—1988.—34, №